

ЭФФЕКТИВНЫЙ КВАЗИНЕПРЕРЫВНЫЙ ЛАЗЕР ВЫСОКОГО ДАВЛЕНИЯ НА ПЕРВОЙ ОТРИЦАТЕЛЬНОЙ СИСТЕМЕ АЗОТА

Н.Г.Басов, А.Ю.Александров, В.А.Данилычев, В.А.Долгих, О.М.Керимов,
Ю.Ф.Мызников, И.Г.Рудой, А.Ю.Самарин, А.М.Сорока

Экспериментально обнаружено, что скорость расселения молекулами водорода B -состояния иона N_2^+ не менее, чем на два порядка меньше скорости дезактивации X -состояния. Это позволило создать мощный квазинепрерывный лазер ближнего УФ ($\lambda = 391$ нм) и видимого ($\lambda = 428$ нм) диапазона с КПД до 2% при возбуждении электронным пучком смеси $He/N_2/H_2$ высокого давления. При электроионизационном способе накачки активной среды наблюдалось увеличение энергии генерации.

Решение проблемы быстрого селективного расселения нижнего лазерного состояния при генерации на оптически разрешенных связанных переходах открывает возможность получения эффективной квазинепрерывной генерации в видимом и УФ диапазонах спектра. Так, в¹ за счет селективного тушения резонансных $3s$ состояний Ne впервые создан мощный эффективный лазер в желто-красной области спектра уже при удельной мощности накачки $\geq 10 \div 10^2$ Вт/см³. В этой же работе отмечалось, что быстрое расселение нижних лазерных уровней возможно и в других процессах, происходящих с кулоновскими сечениями. С этой точки зрения представляют интерес лазеры на разрешенных ионных переходах, в частности, на $B-X$ переходах иона N_2^+ , поскольку эффективность заселения верхнего лазерного уровня $B^2\Sigma_{uv}^+ = 0$ высока². Самоограниченная генерация на первой отрицательной системе азота при накачке смеси He/N_2 высокого давления мощным электронным пучком была получена в^{2,3}.

Меньшие на два – три порядка, по сравнению с атомарными, сечения индуцированных переходов в молекулах обусловливают, помимо быстроты и селективности, дополнительное требование к "тушащему" процессу. Необходимо, чтобы образующиеся в результате расселения N_2^+ (X) молекулярные ионы не поглощали лазерное излучение. Перспективным представляется⁴ водород, поскольку ион N_2H^+ , образующийся в процессе с переходом тяжелой частицы $N_2^+ (X) + H_2 \rightarrow N_2H^+ + H$, не поглощает излучение первой отрицательной системы азота⁴, а константа скорости этого процесса очень высока $\sim 2 \cdot 10^{-9}$ см³/с⁵. Следовательно, достаточно 2 торр водорода, чтобы скорость дезактивации нижнего лазерного уровня на поря-

док превысила скорость спонтанного распада верхнего ($v_{sp} \cong 1,6 \cdot 10^7 \text{ с}^{-1}$)⁴). Кроме этого, из соотношения констант скоростей ионно-молекулярных процессов^{5,6} следует, что при концентрации H_2 , не превышающей концентрацию N_2 , эффективность возбуждения верхнего лазерного уровня уменьшается незначительно. Тем не менее, если реализуется обычная ситуация, когда более возбужденные состояния тушатся быстрее⁶, то создание эффективного лазера невозможно. Следовательно, возможность создания квазинепрерывного лазера с высоким КПД на $B - X$ переходе N_2^+ определяется соотношением скорости тушения верхнего и нижнего лазерных состояний молекулами H_2 .

На рис. 1 представлена зависимость мощности спонтанного излучения на переходе $B^2 \Sigma_{uv=0}^+ \rightarrow X^2 \Sigma_{gv=1}^+$ иона азота ($\lambda = 428 \text{ нм}$) от давления водорода в смеси 6 атм. $\text{He}/4 \text{ торр } \text{N}_2/\text{H}_2$, возбуждаемой электронным пучком. При давлении H_2 равном 2 торр, обеспечивающем необходимую скорость расселения $\text{N}_2^+(X)$, мощность излучения уменьшается на 15 – 20 %.

При возбуждении электронным пучком смеси He/N_2 заселение состояния B ($v=0$) иона азота осуществляется по двум каналам: в результате перезарядки молекулярных ионов гелия $\text{He}_2^+ + \text{N}_2 \rightarrow \text{N}_2^+(B) + 2\text{He}$ ³ и в процессе Пенниг-ионизации $\text{He}^* + \text{N}_2 \rightarrow \text{N}_2^+(B) + \text{He} + e^-$ ⁶, поэтому для оценки константы скорости тушения $\text{N}_2^+(B)$ молекулами водорода необходимо определить отношение эффективностей обоих каналов. Для концентрации азота $> 10^{18} \text{ см}^{-3}$ единственным каналом, обеспечивающим заселение $\text{N}_2^+(B)$, является Пенниг-процесс⁵. В соответствии с⁷ отношение числа возбужденных атомов Не к числу ионов при возбуждении электронным пучком составляет $\approx 0,53$. Тогда анализ асимптотического поведения зависимости мощности спонтанного излучения от давления азота (рис. 1) позволяет установить, что вероятности образования $\text{N}_2^+(B, v=0)$ по обоим каналам практически одинаковы. С учетом этого обстоятельства, зависимость интенсивности люминесценции от давления водорода позволяет оценить значение константы гашения состояния $B^2 \Sigma_{uv=0}^+$ молекулами H_2 , которая оказалась $< 10^{-11} \text{ см}^3/\text{с}$. Таким образом, скорость "тушения" верхнего лазерного уровня водородом, по крайней мере, в 100 раз меньше, чем нижнего.

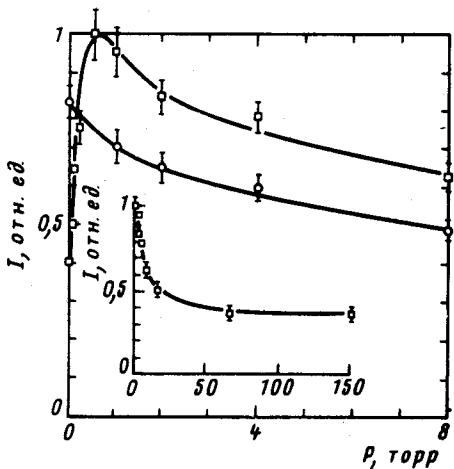


Рис. 1

Рис. 1. Зависимость мощности люминесценции на $\lambda = 428 \text{ нм}$ от давления H_2 (○) и N_2 (□).

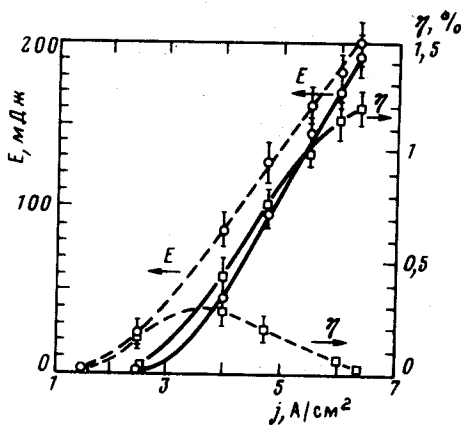


Рис. 2

Рис. 2. Зависимость энергии генерации и КПД лазера на $\lambda = 428 \text{ нм}$ от плотности тока при возбуждении электронным пучком (сплошные кривые) и электроионизационным методом (пунктирные кривые).

Эксперименты по исследованию генерации проводились на установке, описанной в⁸. Возбуждение активной среды лазера осуществлялось электронным пучком с параметрами: энергия электронов $\sim 200 \text{ кэВ}$, длительность импульса $\cong 0,7 \text{ мкс}$, плотность тока до $7 \text{ A}/\text{см}^2$.

Объем активной области лазера составлял $\cong 1$ л. Резонатор лазера был образован селективными на $\lambda = 428$ нм диэлектрическими зеркалами размером $8 \times 3,5$ см² с коэффициентами пропускания $T_1 \leq 0,1\%$ и $T_2 \cong 1\%$.

Характеристики лазерного излучения исследовались, в основном, при давлении смеси He/N₂/H₂ равном 6 атм. Как показали эксперименты, при давлении водорода 2 торр оптимальное давление азота составляет 4 торр. Увеличение концентрации N₂ в смеси по сравнению с концентрацией 0,5 торр, обеспечивающей наибольшую эффективность люминесценции в смеси He/N₂ (см. рис. 1), обусловлено конкуренцией процессов накачки верхнего лазерного уровня и ионизации H₂.

Зависимость величины энергии генерации и КПД лазера на $\lambda = 428$ нм от плотности тока электронного пучка показана на рис. 2. Пороговая плотность тока электронного пучка определяется не условием стационарной генерации, а необходимостью достижения насыщения лазерного перехода за время действия импульса накачки ⁹. Сокращение времени развития генерации по мере увеличения мощности накачки сопровождается, естественно, повышением энергии и КПД лазера. Так, при $j \cong 6$ А/см² энергия генерации составила $\cong 0,2$ Дж (удельная мощность 450 кВт/л) с КПД $\sim 1,3\%$. Применение электроионизационного способа возбуждения активной среды лазера приводило к увеличению энергии генерации и снижению пороговой плотности тока пучка. Физическая причина влияния электрического поля связана, по нашему мнению, с уменьшением скорости тушения возбужденных ионных состояний электронами при их нагреве. Оценка согласно формуле ван-Режемортера ¹⁰ показывает, что увеличение электронной температуры, например, от комнатной до $1 \div 2$ эВ снижает скорость тушения в $7 \div 10$ раз. Воздействие поля становится незначительным при большой концентрации вторичных электронов (см. рис. 2) вследствие их нагрева при максвеллизации ¹¹. Отметим, что принципиально возможен другой, более эффективный механизм действия электрического поля – возбуждение в разряде метастабильных уровней гелия с последующей накачкой верхнего лазерного уровня в результате Пеннинг-ионизации азота. Для реализации этого механизма необходимо, чтобы скорость ступенчатого возбуждения гелия была относительно мала, что ограничивает концентрацию электронов на уровне $\lesssim 10^{13}$ см⁻³ ($j \lesssim 0,1$ А/см²).

В настоящей работе генерация происходит вблизи "красного канта" первой отрицательной системы азота, а не на линии P(7), соответствующей максимуму заселенности верхнего лазерного состояния. Это обусловлено тем, что уже при давлении несколько атмосфер уширение контура усиления отдельной вращательной линии гелием существенно превосходит расстояние между ними – вблизи канта ⁴. В результате, вклад в усиление на переходе P(12), например, вносят и переходы P(9) – P(13). Отсюда также следует, что увеличение давления буферного газа приводит при пучковой накачке к росту коэффициента усиления, что подтвердили проведенные нами эксперименты при давлении 10 атм. В этих условиях КПД генерации достигал 2%, что, в частности, связано с более быстрым развитием генерации.

При использовании неселективного резонатора (зеркала с алюминиевым покрытием) генерация происходила только на 0 – 0 полосе перехода B – X в УФ области спектра ($\lambda = 391$ нм), а длительность импульса излучения составляла $\cong 400$ нс.

Таким образом, обнаруженная в настоящей работе селективность расселения водородом B и X состояний N₂⁺ позволила впервые получить мощную квазинепрерывную генерацию на 0 – 0 и 0 – 1 полосах первой отрицательной системы азота с КПД до 2%.

Литература

1. Басов Н.Г., Александров А.Ю., Данилычев В.А. и др. Письма в ЖЭТФ, 1985, 41, 156.
2. Басов Н.Г., Васильев Л.А., Данилычев В.А. и др. Квантовая электроника, 1975, 2, 1591.
3. Collins C.B., Cunningham A.J., Stockton M. Appl. Phys. Lett., 1974, 25, 344.
4. Радиге А.А., Смирнов Б.М. Справочник по атомной и молекулярной физике. М.: Атомиздат, 1980.
5. Вирин Л.И., Джагацян Р.В., Карабечев Г.В. и др. Ионно-молекулярные реакции в газах. М.: Наука, 1979.

6. Смирнов Б.М. Возбужденные атомы. М.: Энергоиздат, 1982.
7. Rees D.B., Leffert C.B., Rose D. I. J. Appl. Phys., 1969, 40, 1884.
8. Басов Н.Г., Глотов Е.П., Данильчев В.А. и др. Квантовая электроника, 1984, 11, 1162.
9. Исаев А.А., Казарян М.А. и др. Квантовая электроника, 1975, 2, 1125.
10. Вайнштейн Л.А., Собельман И.И., Юков Е.А. Возбуждение атомов и уширение спектральных линий. М.: Наука, 1979.
11. Смирнов Б.М. Физика слабоионизованного газа. М.: Наука, 1972.

Физический институт им. П.Н.Лебедева
Академии наук СССР

Поступила в редакцию
27 мая 1985 г